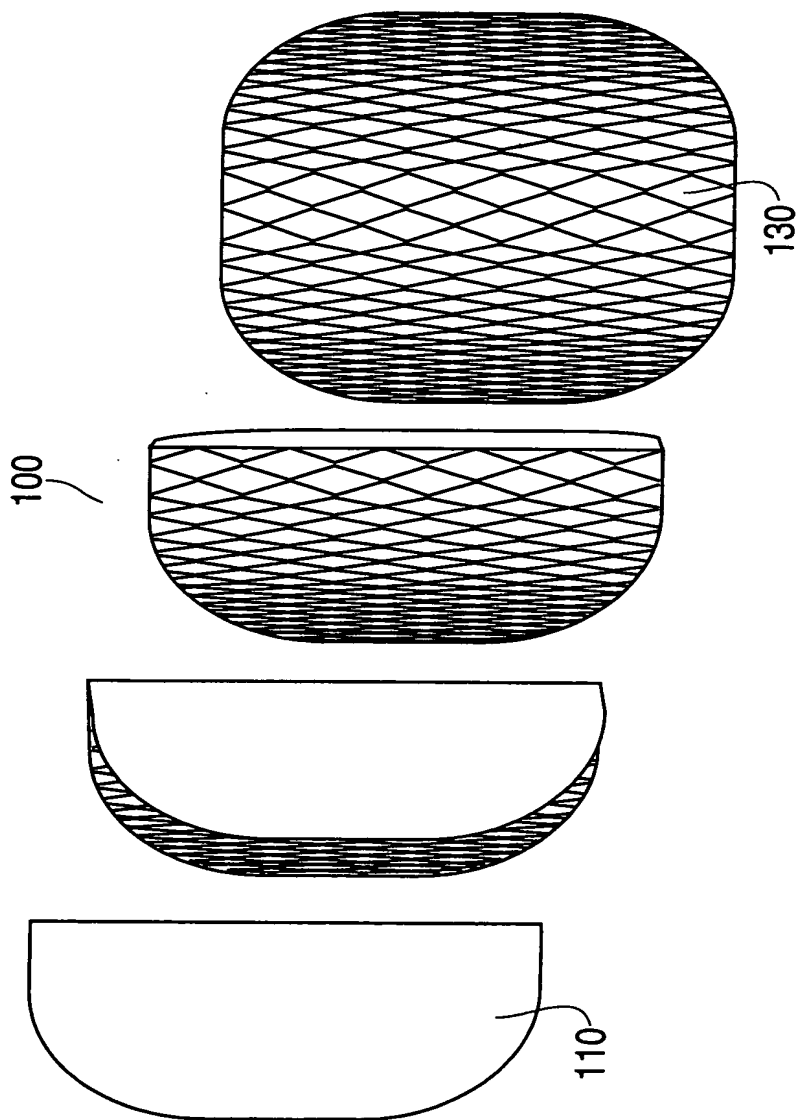
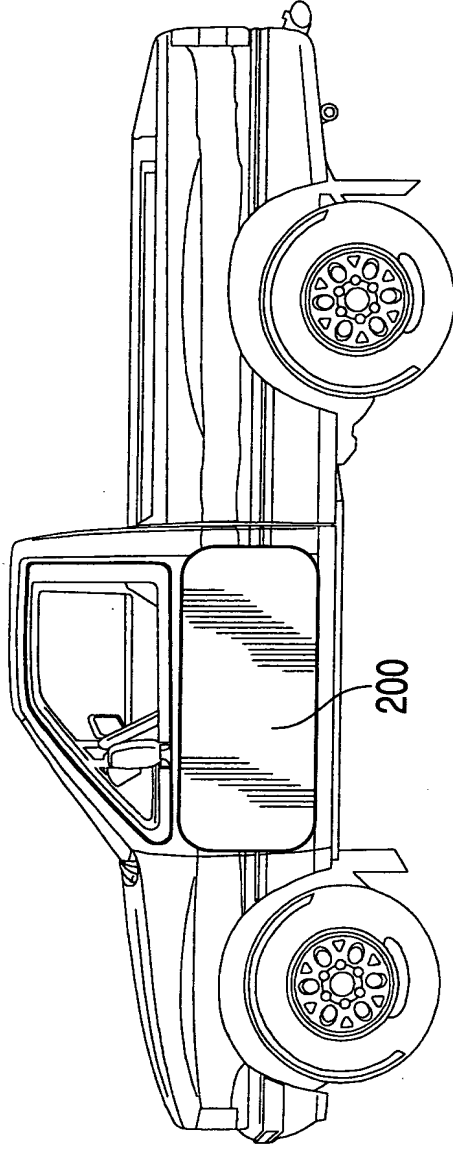




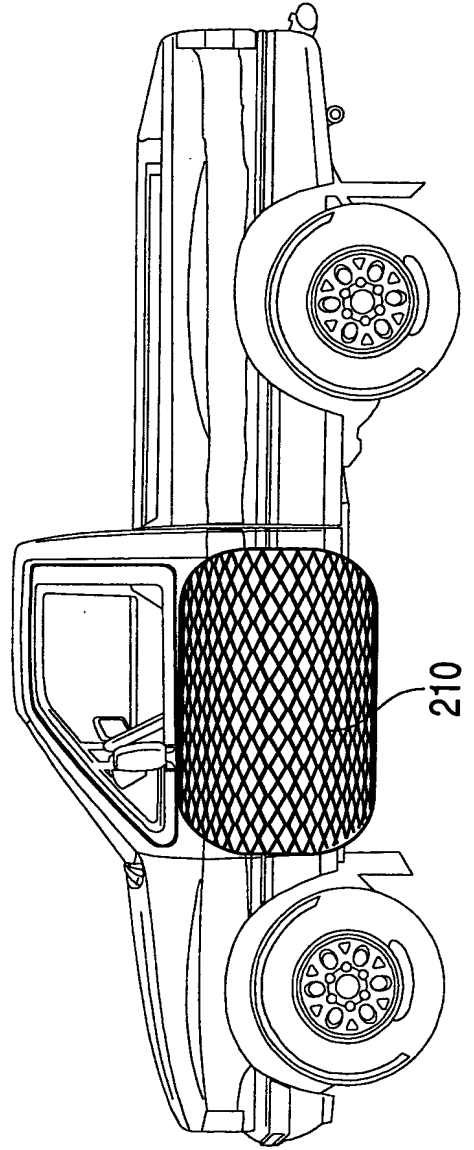
**FIG. 1**



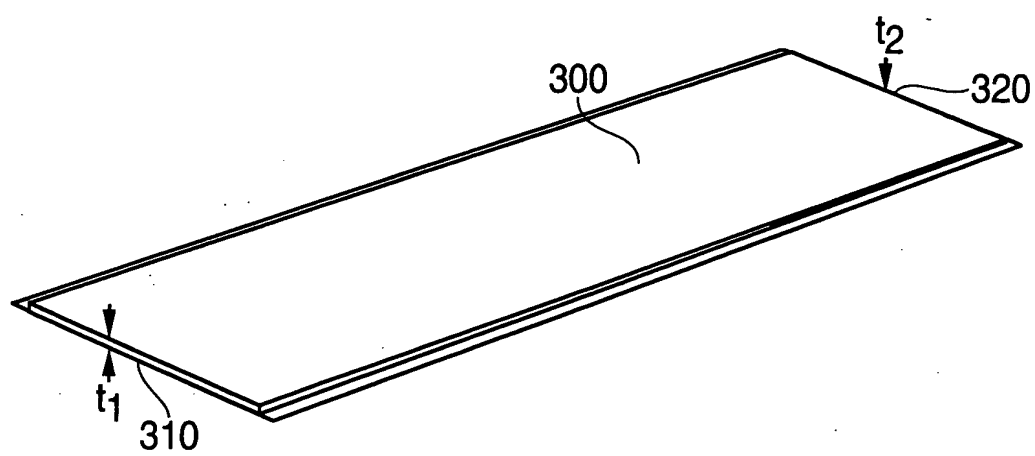
**FIG. 2A**



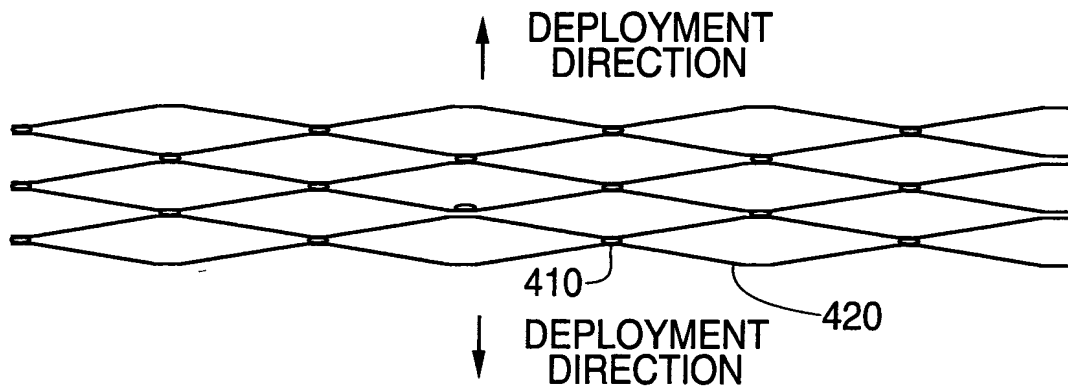
**FIG. 2B**



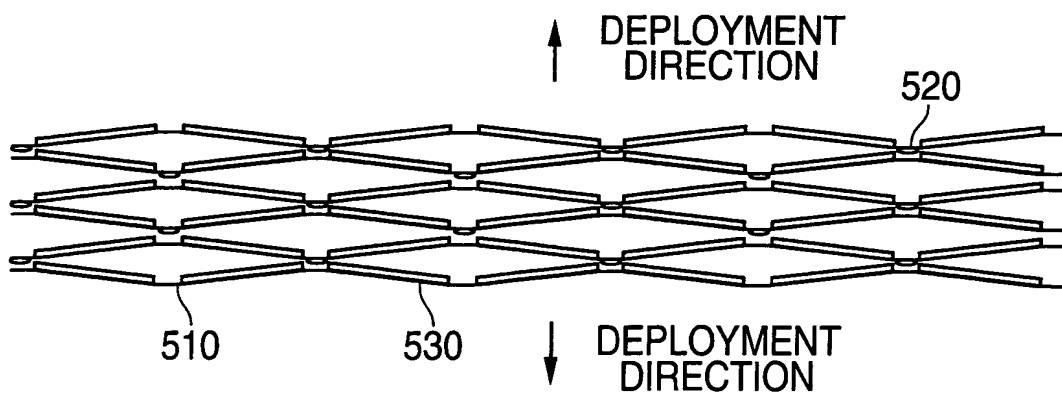
**FIG. 3**



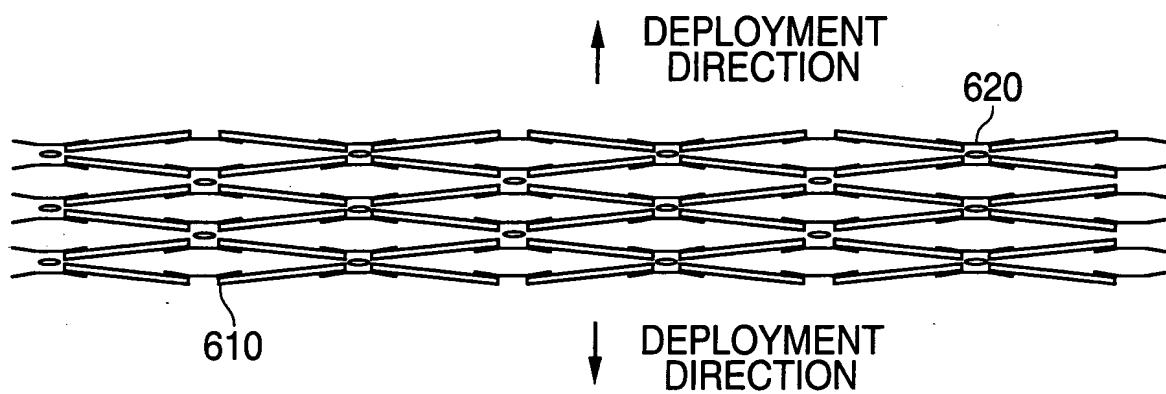
**FIG. 4**  
(PRIOR ART)



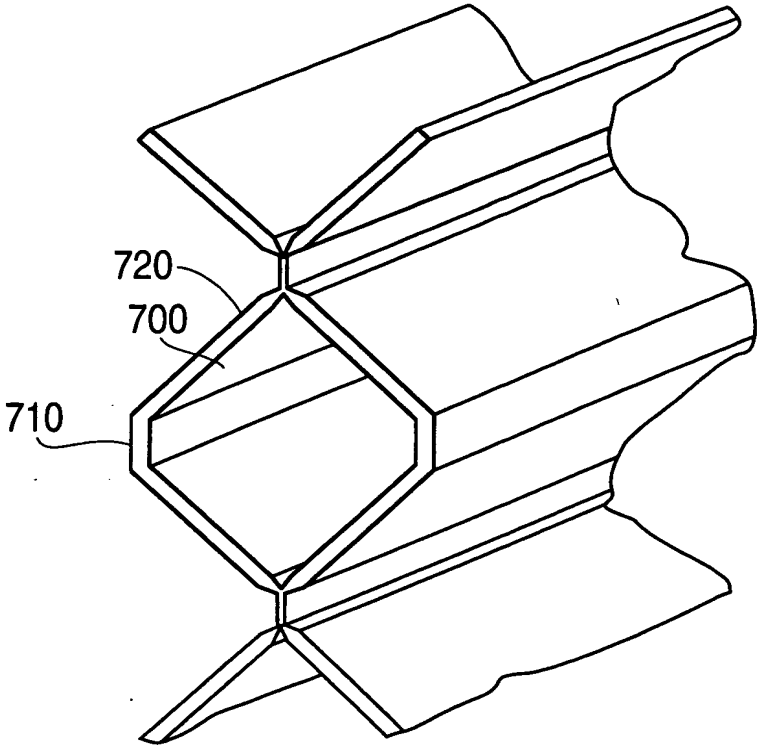
**FIG. 5**



**FIG. 6**

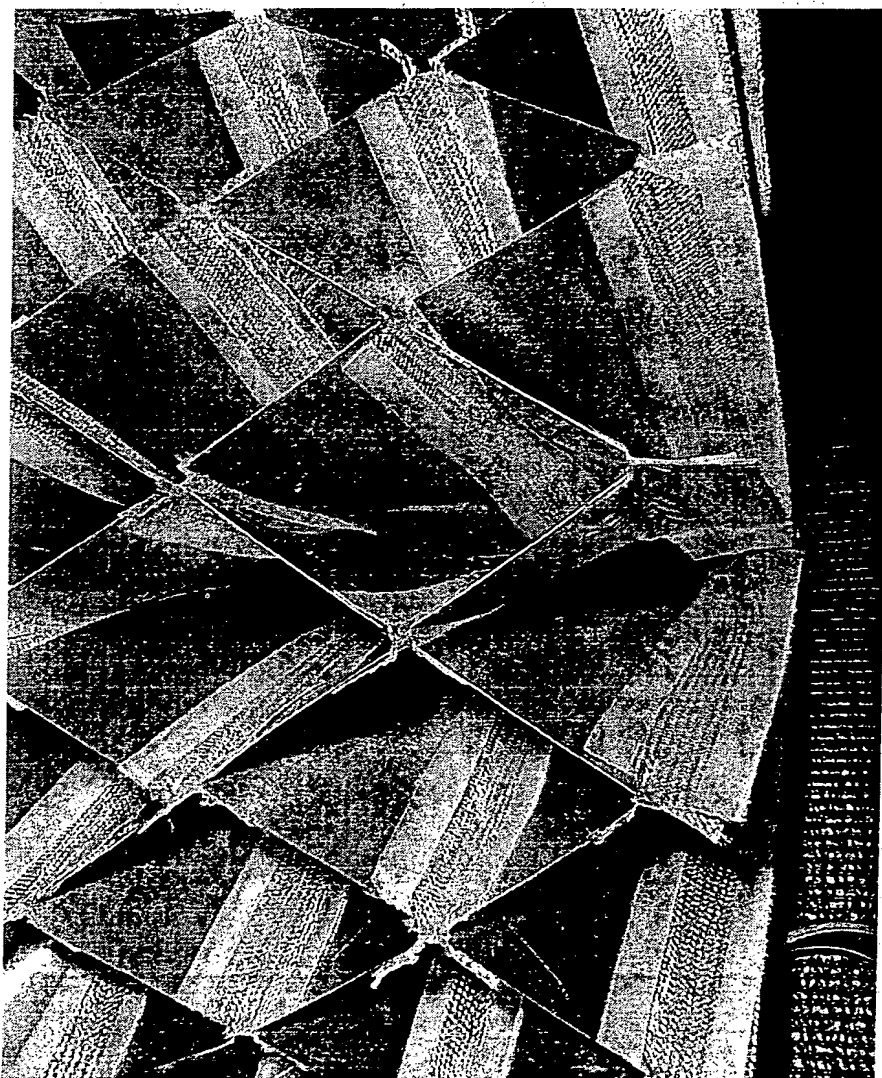


**FIG. 7**



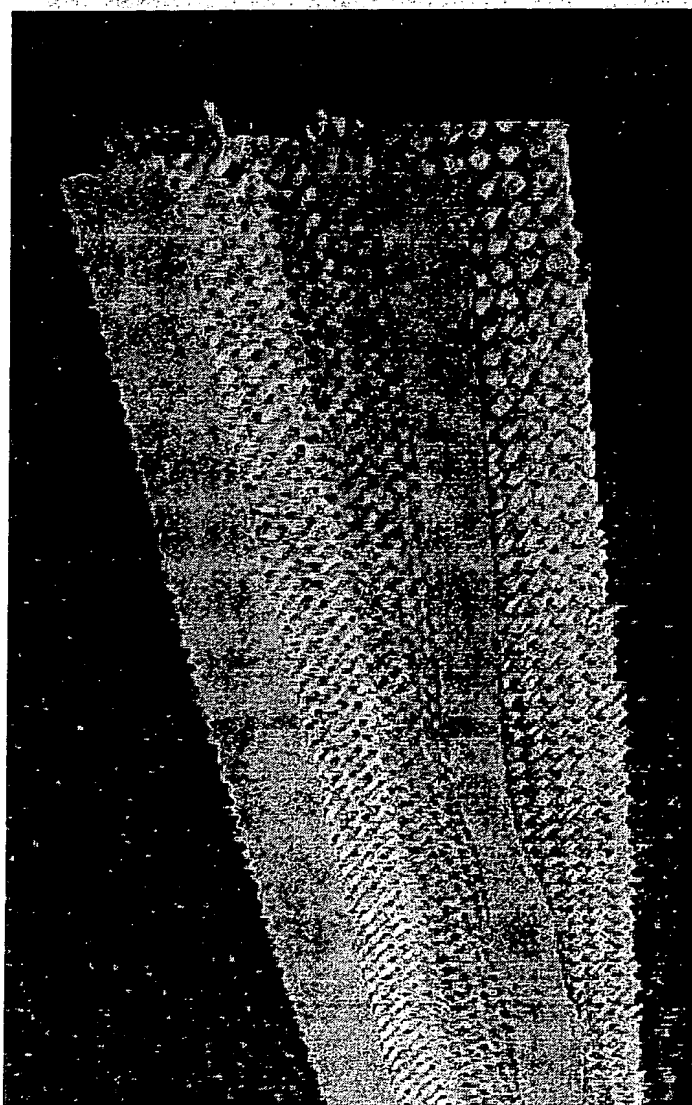
BEST AVAILABLE COPY

**FIG. 8**



BEST AVAILABLE COPY

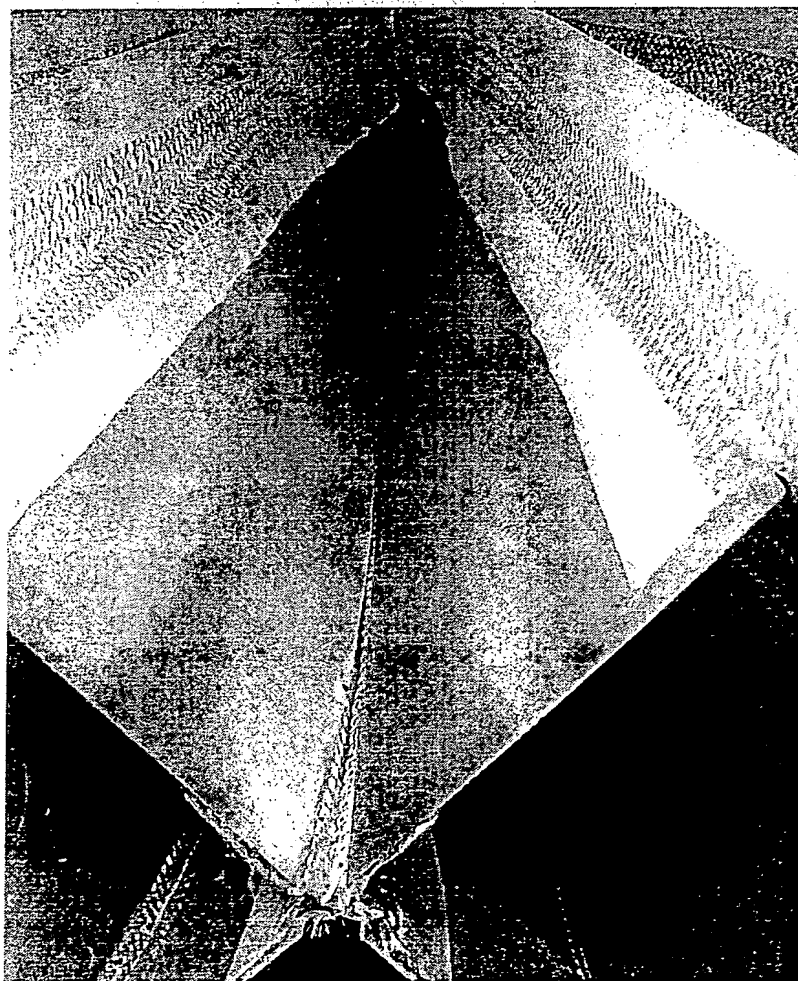
**FIG. 9**



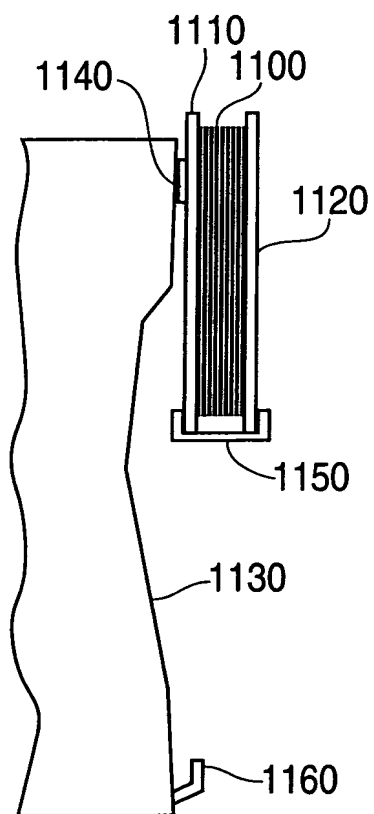


BEST AVAILABLE COPY

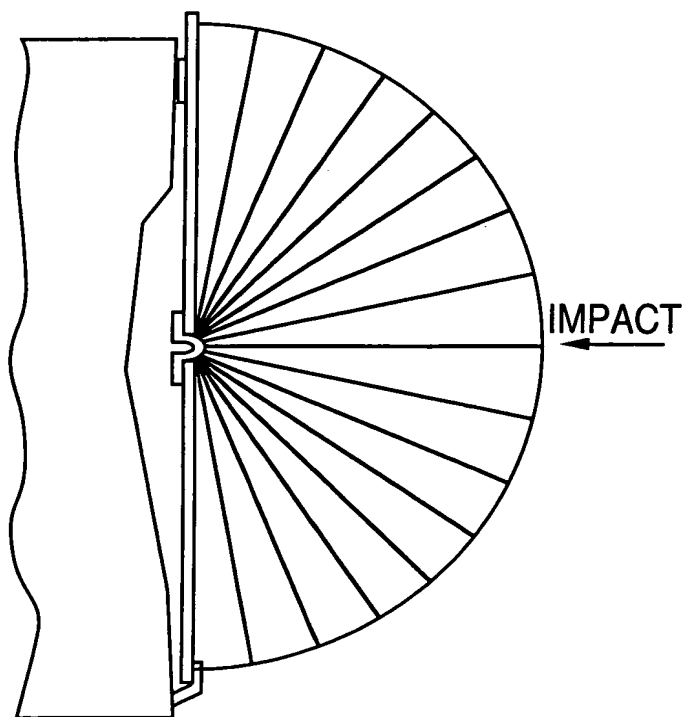
**FIG. 10**



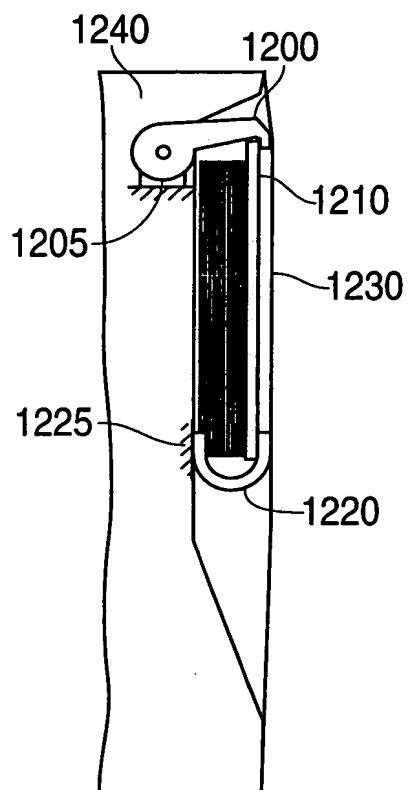
**FIG. 11A**



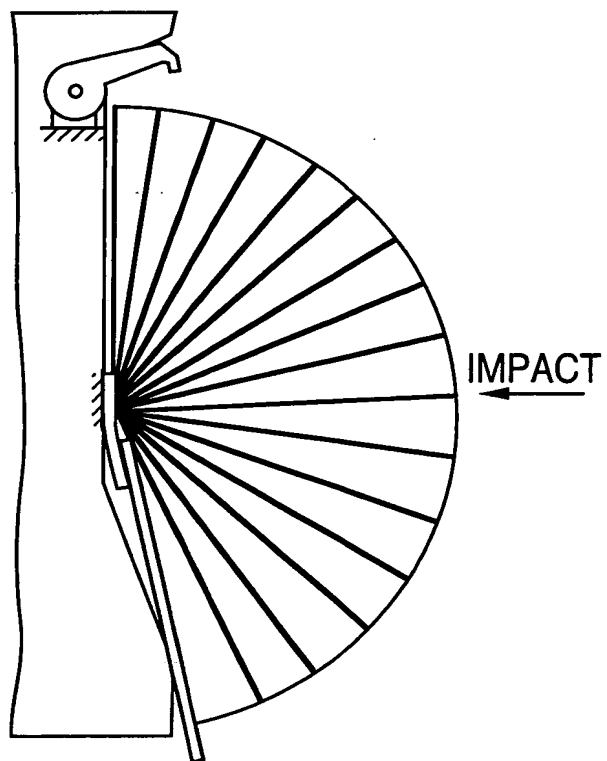
**FIG. 11B**



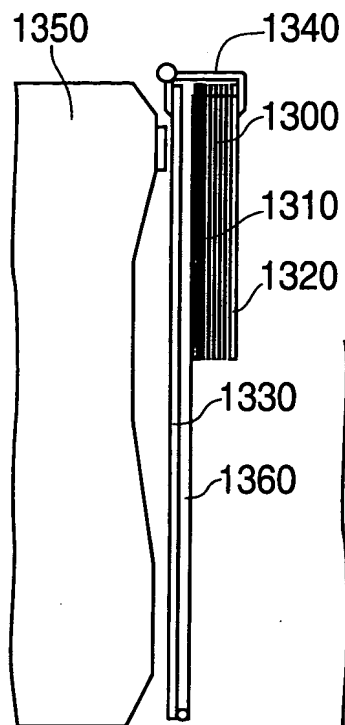
**FIG. 12A**



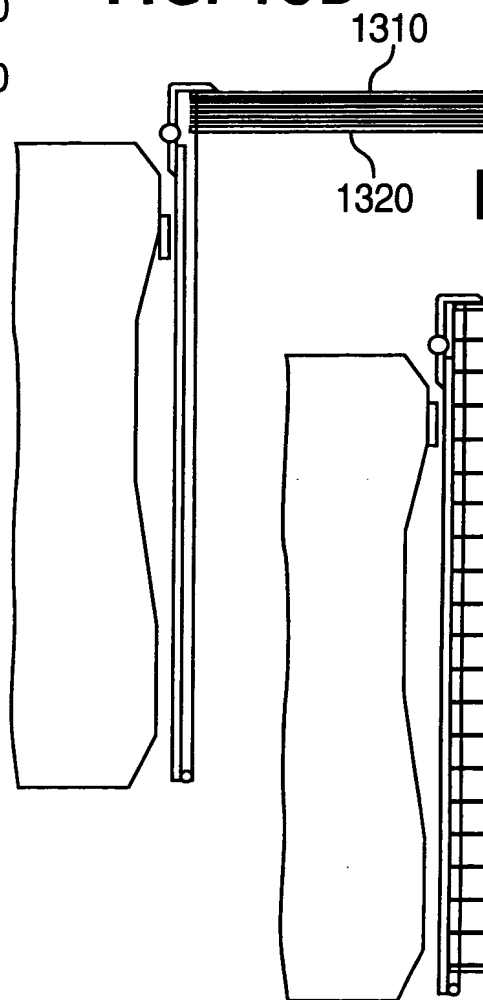
**FIG. 12B**



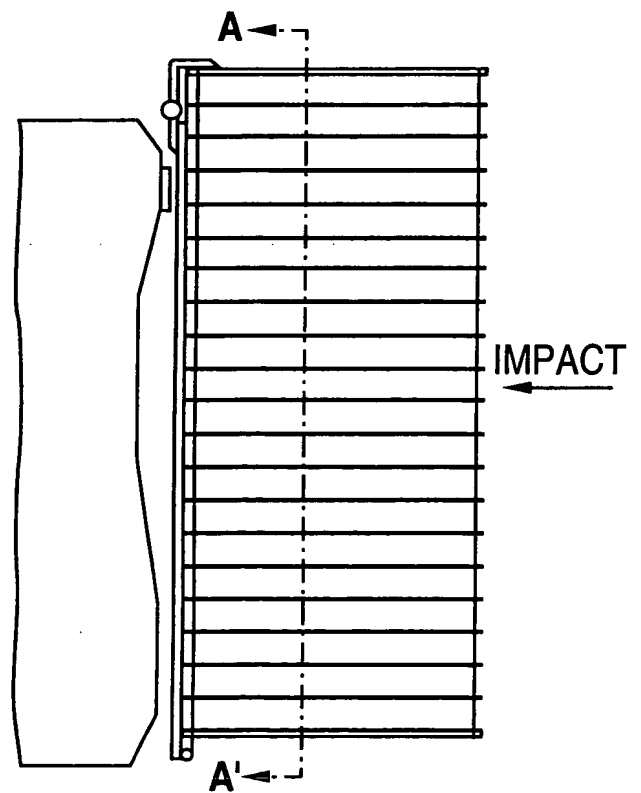
**FIG. 13A**



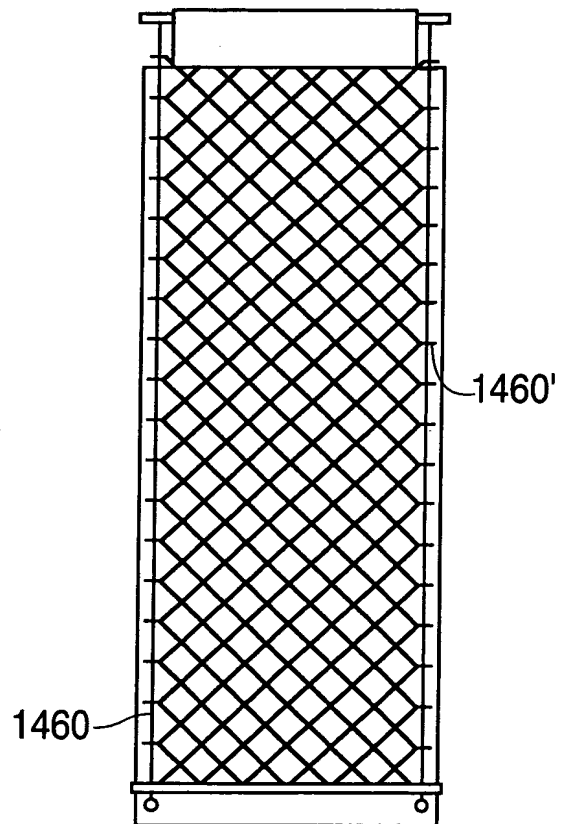
**FIG. 13B**



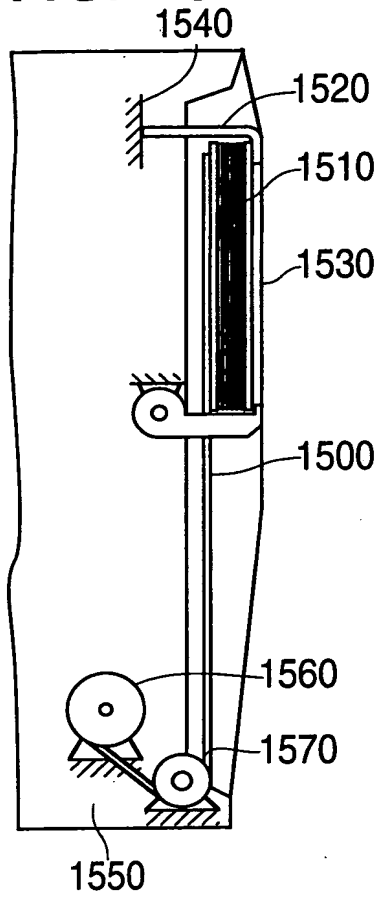
**FIG. 13C**



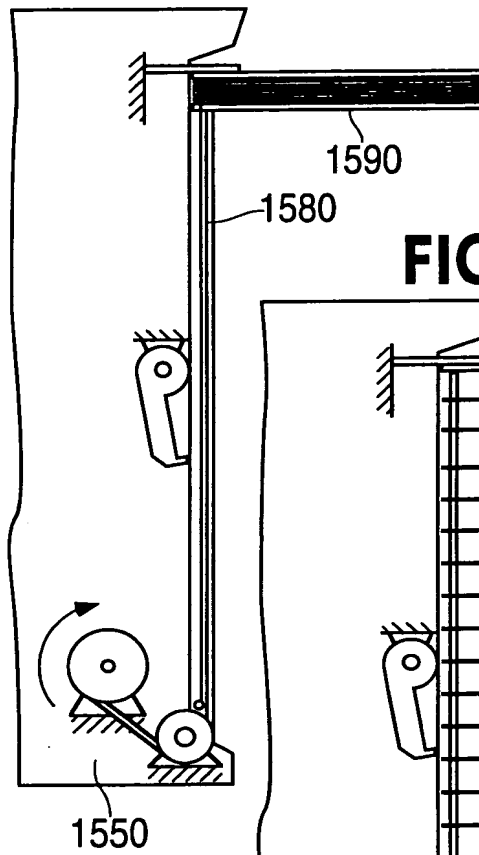
**FIG. 14**



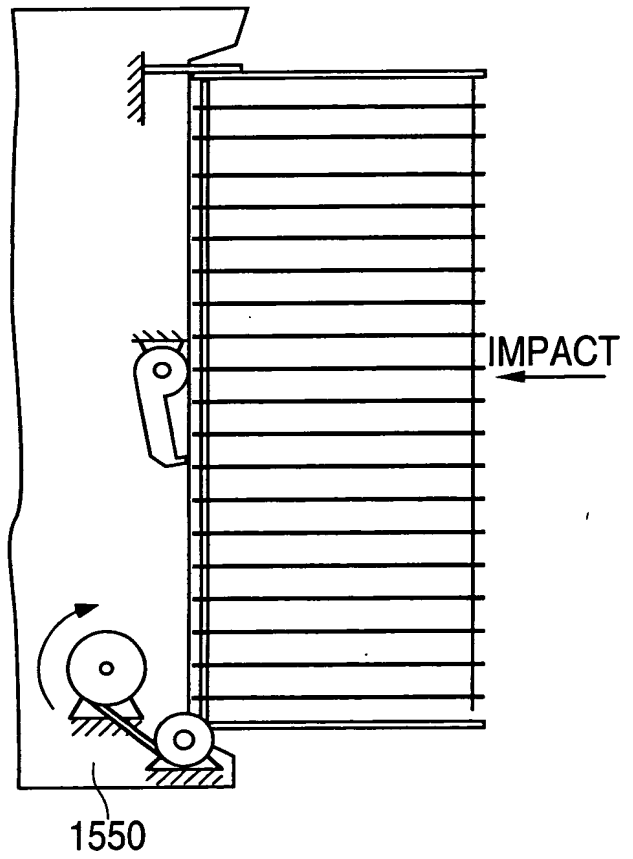
**FIG. 15A**



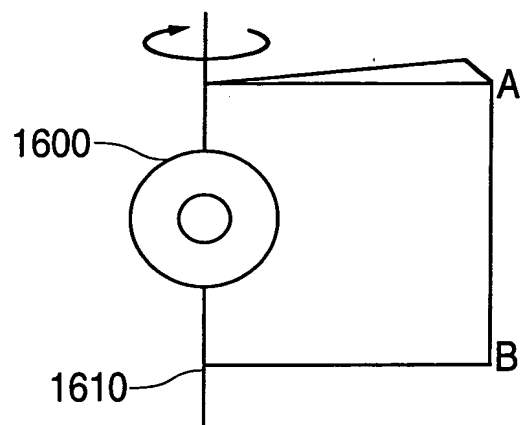
**FIG. 15B**



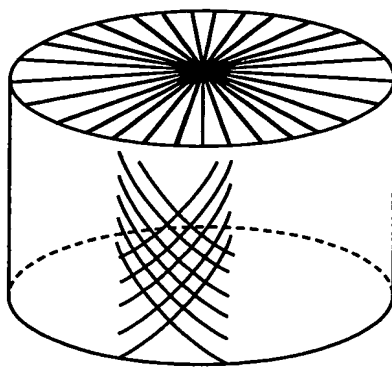
**FIG. 15C**



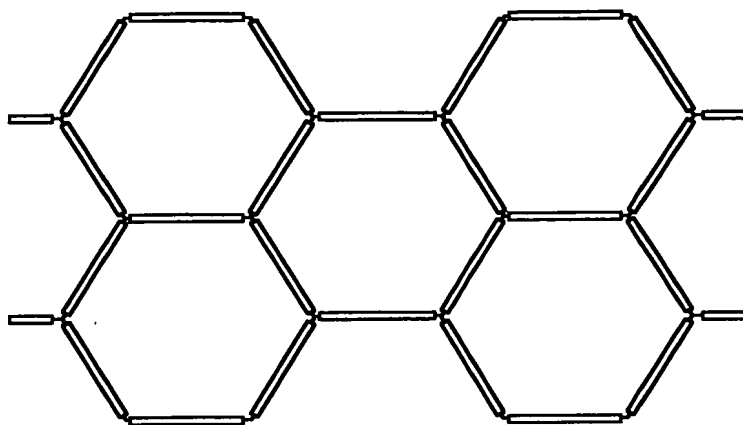
**FIG. 16**



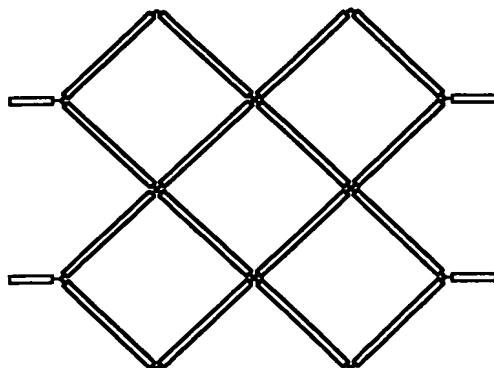
**FIG. 17**



**FIG. 18A**

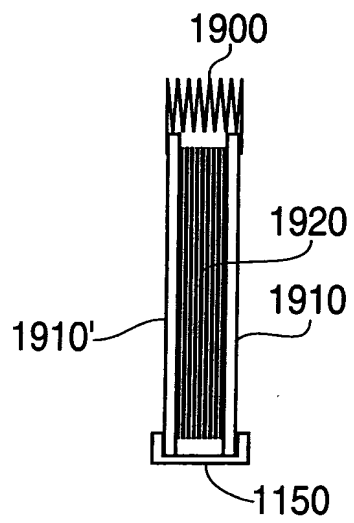


**FIG. 18B**





**FIG. 19A**



**FIG. 19B**

